

Abortiporus biennis

(Bull.) Singer, *Mycologia* 36(1): 68 (1944)

Podoscyphaceae, Polyporales, Incertae sedis, Agaricomycetes, Agaricomycotina, Basidiomycota, Fungi

Sinónimos homotípicos:

Boletus biennis Bull., Herb. Fr. (Paris) 10: tab. 449 (1790)
Sistotrema bienne (Bull.) Pers., Syn. meth. fung. (Göttingen) 2: 550 (1801)
Daedalea biennis (Bull.) Fr., Syst. mycol. (Lundae) 1: 332 (1821)
Sistotrema rufescens subsp. *bienne* (Bull.) Pers., Mycol. eur. (Erlanga) 2: 207 (1825)
Polyporus biennis (Bull.) Fr., Epicr. syst. mycol. (Upsaliae): 433 (1838) [1836-1838]
Daedalea biennis var. *capitata* Bull. ex Quél., Fl. mycol. France (Paris): 374 (1888)
Heteroporus biennis (Bull.) Lázaro Ibiza, Revta R. Acad. Cienc. exact. fis. nat. Madr. 15(1-3): 120 (1916)
Phaeolus biennis (Bull.) Pilát, Beih. bot. Zbl., Abt. 2 52: 69 (1934)
Abortiporus biennis f. *capitatus* (Bull. ex Quél.) Domański, Orłos & Skirg., Flora Polska. Grzyby, II: 103 (1967)
Grifola biennis (Bull.) Zmitr. & Malysheva, in Zmitrovich, Malysheva & Spirin, Mycena 6: 21 (2006)

Material estudiado:

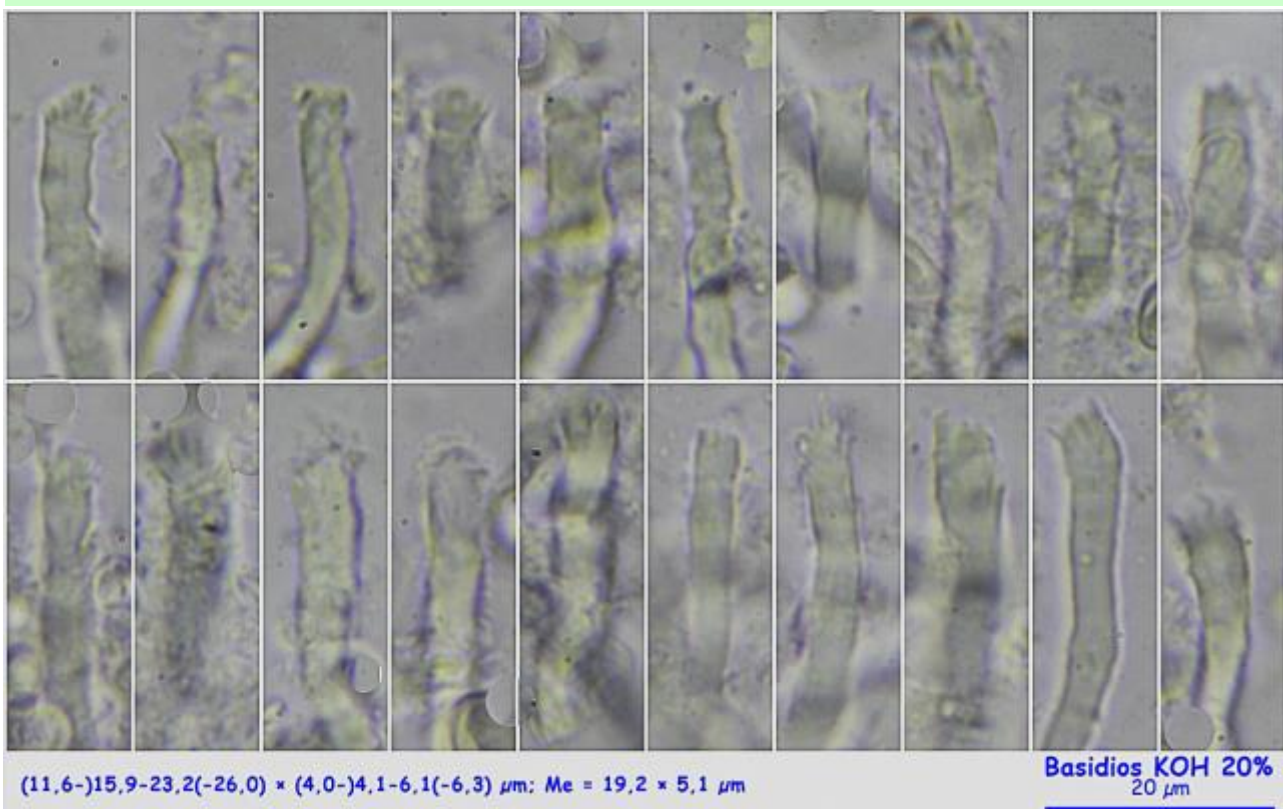
España, Castilla la Mancha, Ciudad Real, Brazatorras, Río Montoro, 30SUH7962, 809 m, en base de tronco vivo de *Quercus faginea*, 20-XI-2021, leg. Carmen Orlandi, Dianora Estrada, Demetrio Merino y asistentes a las jornadas de la asociación El Ilustre Minero, JA-CUSSTA: 9477.

Descripción macroscópica:

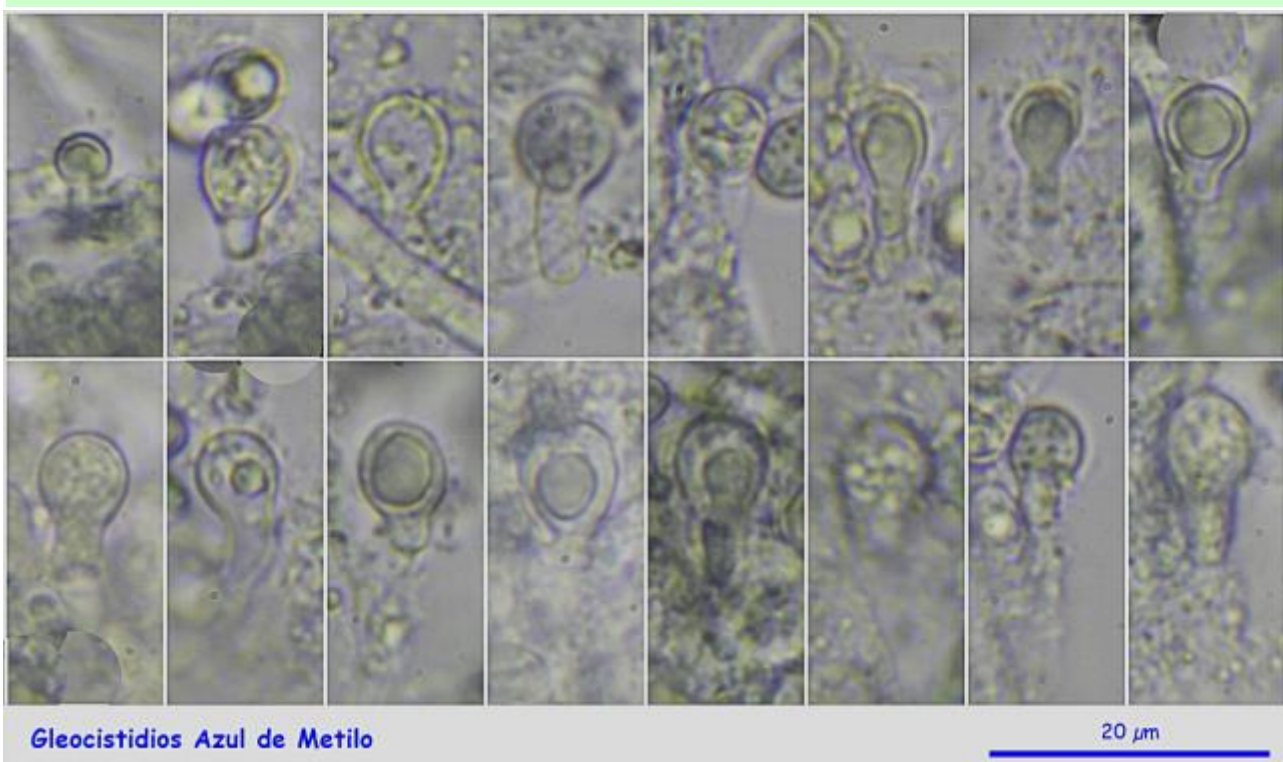
Carpóforo de 169 mm de largo x 83 mm de ancho, formado por numerosos lóbulos imbricados, espatulados, unidos por la base, sésil a subsésil. **Cara superior** rugosa, de color blanquecino y tonos grisáceo rosados, con el margen afiltrado. **Himenio** en la cara inferior, formado por una transición de tubos a láminas, anastomosados, laberintiformes, de color blanquecino a grisáceo. **Carne** gelatinosa en su capa superior y dura en la inferior. **Olor** agradable.

Descripción microscópica:

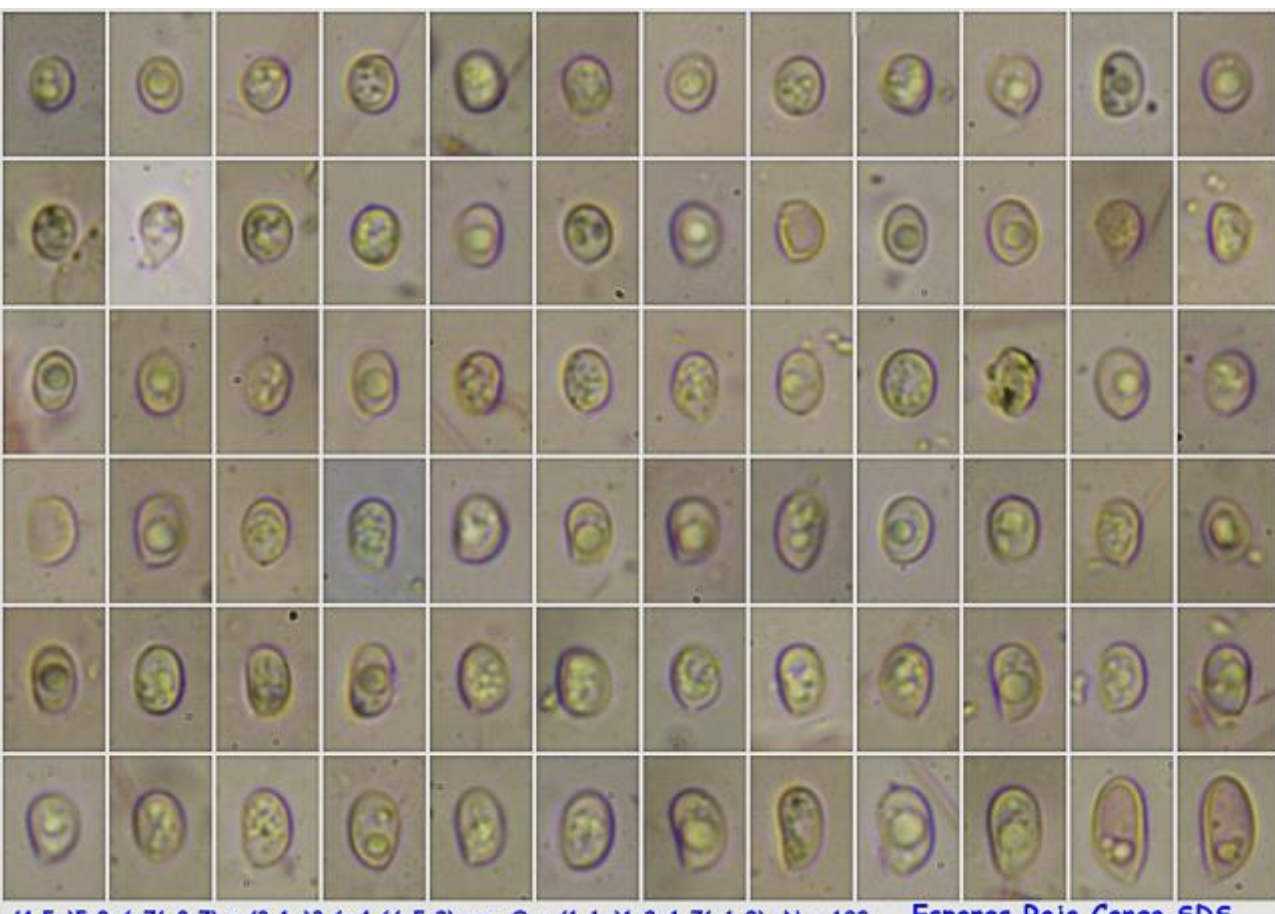
Basidios cilíndrico claviformes, tetraspóricos, con fibula basal, de $(11,6-)15,9-23,2(-26,0) \times (4,0-)4,1-6,1(-6,3)$ μm ; $Me = 19,2 \times 5,1$ μm . **Basidiosporas** subglobosas a elipsoidales, algunas cilíndricas, de paredes finas, lisas, hialinas, gutuladas, de $(4,5-)5,0-6,7(-8,7) \times (3,1-)3,6-4,6(-5,2)$ μm ; $Q = (1,1-)1,2-1,7(-1,9)$; $N = 102$; $V = (26-)37-74(-96)$ μm^3 ; $Me = 5,8 \times 4,1$ μm ; $Qe = 1,4$; $Ve = 53$ μm^3 . **Clamidosporas** globosas a subglobosas, de paredes gruesas, lisas, hialinas, gutuladas, de $(3,9-)4,8-7,1(-7,7) \times (3,7-)4,3-6,5(-6,9)$ μm ; $Q = 1,0-1,2(-1,3)$; $N = 69$; $V = (29-)45-155(-193)$ μm^3 ; $Me = 6,1 \times 5,5$ μm ; $Qe = 1,1$; $Ve = 104$ μm^3 . **Gleocistidios** cilíndricos a claviformes, gutulados. **Sistema hifal** monomítico, con hifas fibuladas.



A. Basidios.

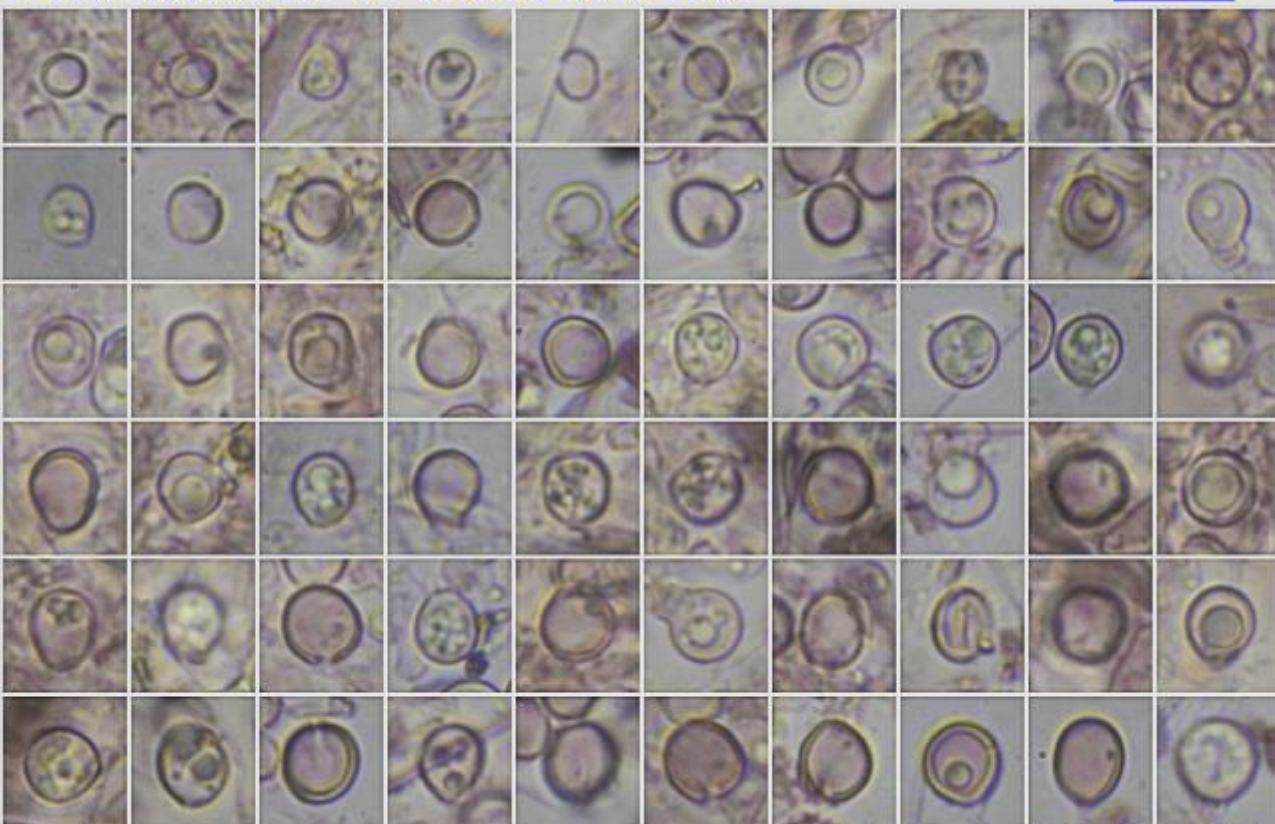


B. Gleocistidios.



(4,5-)5,0-6,7(-8,7) × (3,1-)3,6-4,6(-5,2) μm ; Q = (1,1-)1,2-1,7(-1,9); N = 102 Esporas Rojo Congo SDS
 $V = (26-)37-74(-96) \mu\text{m}^3$; Me = $5,8 \times 4,1 \mu\text{m}$; Qe = 1,4; Ve = $53 \mu\text{m}^3$

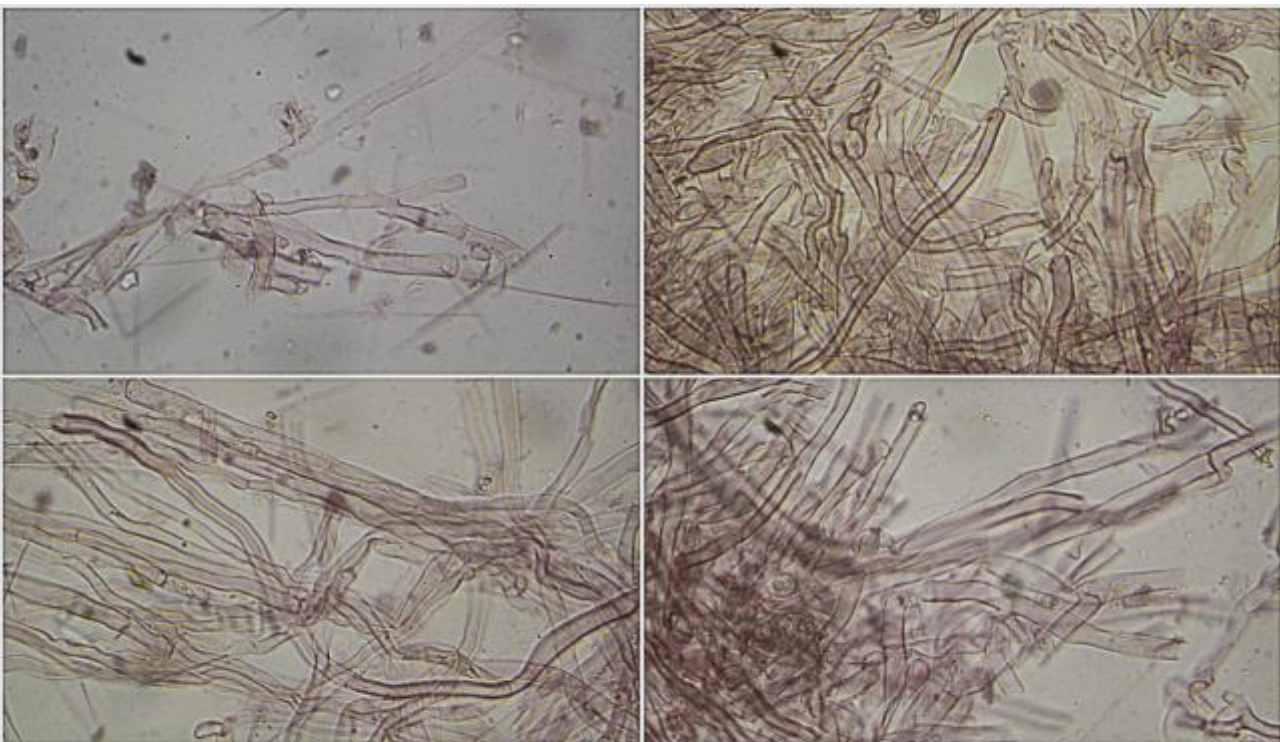
10 μm



(3,9-)4,8-7,1(-7,7) × (3,7-)4,3-6,5(-6,9) μm ; Q = 1,0-1,2(-1,3); N = 69 Clamidosporas Rojo Congo SDS
 $V = (29-)45-155(-193) \mu\text{m}^3$; Me = $6,1 \times 5,5 \mu\text{m}$; Qe = 1,1; Ve = $104 \mu\text{m}^3$

10 μm

C. Esporas.



Sistema Hifal Rojo Congo SDS

50 μ m

D. Sistema Hifal.

Observaciones

Loweomyces fractipes (Berk. & M.A. Curtis) Jülich (= *Abortiporus fractipes* (Berk. & M.A. Curtis) Bondartsev) es más pequeño, estipitado, con poros redondeados y carece de gleocistídios (BERNICCHIA, 2005)

Otras descripciones y fotografías

- BERNICCHIA A. (2005) *Polyporaceae s.l. Fungi Europaei*. Edizioni Candusso. Pág. 74.

Salvo indicación en contrario, las fotos están realizadas por Demetrio Merino.